



UNIVERSIDADE ESTADUAL DE CAMPINAS



FACULDADE DE ENGENHARIA ELÉTRICA E DE
COMPUTAÇÃO

EA722: LABORATÓRIO DE PRINCÍPIOS DE CONTROLE E
SERVOMECANISMOS

Relatório do Experimento 01: Modelos Dinâmicos e Identificação

Henrique Roberto da Cunha Júnior 174638

Leonardo Rodrigues Marques 178610

William Quintas de Melo 188684

Campinas, SP
2S/2020

Problemas

Problema 1

Item A

A função de transferência é:

$$G_{F \rightarrow x}(s) = \frac{\frac{1}{m}}{s^2 + \frac{b}{m}s + \frac{k}{m}} \quad (1)$$

O sistema de segunda ordem tem o seguinte formato:

$$G_P(s) = A \frac{\omega_n^2}{s^2 + 2\epsilon\omega_n s + \omega_n^2} \quad (2)$$

Ao multiplicar a função de transferência por K, temos:

$$G_{F \rightarrow x}(s) = \frac{1}{K} \frac{\frac{1}{m}}{s^2 + \frac{b}{m}s + \frac{k}{m}} \quad (3)$$

Comparando as equações $G_{F \rightarrow x}(s)$ e $G_p(s)$:

$$\begin{aligned} \omega_n^2 &= \frac{k}{m} \\ A &= \frac{1}{K} \\ \epsilon_n &= \frac{b}{2\omega_n m} = 2\epsilon \sqrt{\frac{k}{m}} \end{aligned} \quad (4)$$

Também temos:

$$\omega_d = \omega_n \sqrt{1 - \epsilon^2} \rightarrow \omega_d = \sqrt{\frac{(4km - b^2)}{4m^2}} \quad (5)$$

Item B

A partir das fórmulas abaixo, retiradas do livro do Franklin, é possível analisar o comportamento das propriedades à medida que os valores de k , b e m são variados.

$$\text{Tempo de Pico} = \frac{\pi}{w_d} = \frac{\pi}{\sqrt{\frac{(4km-b^2)}{4m^2}}} \quad (6)$$

$$\text{Valor de Pico} = M_p(t_p) = \exp\left(\frac{-\pi\epsilon}{\sqrt{1-\epsilon^2}}\right) \quad (7)$$

$$\text{Tempo de Estabilização} = \frac{4}{\epsilon\omega_n} = \frac{2m}{b} \quad (8)$$

$$\text{Valor final} = \frac{1}{k} \quad (9)$$

	$\uparrow k$	$\uparrow b$	$\uparrow m$
Valor final	\downarrow	-	-
Tempo de Estabilidade	-	\downarrow	\uparrow
Valor de Pico	\uparrow	\downarrow	\uparrow
Tempo de Pico	\downarrow	\uparrow	\uparrow

Tabela 1: Análise do sistema baseado em fórmulas.

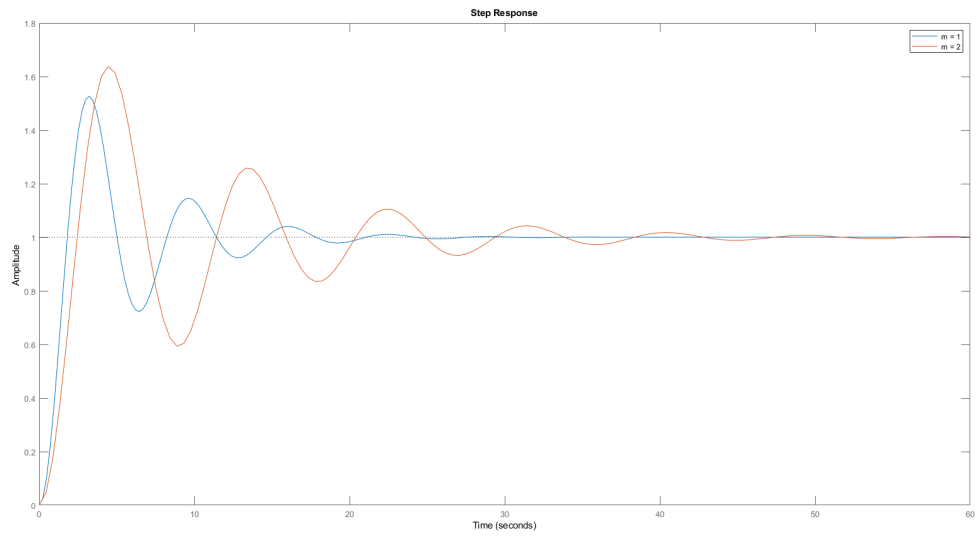


Figura 1: Gráfico para $m = 1$ e $m = 2$.

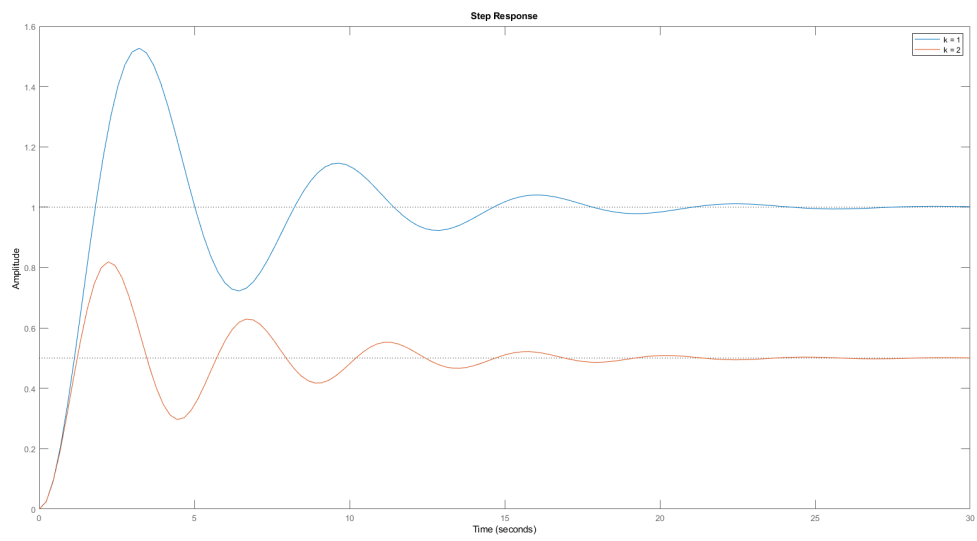


Figura 2: Gráfico para $k = 1$ e $k = 2$.

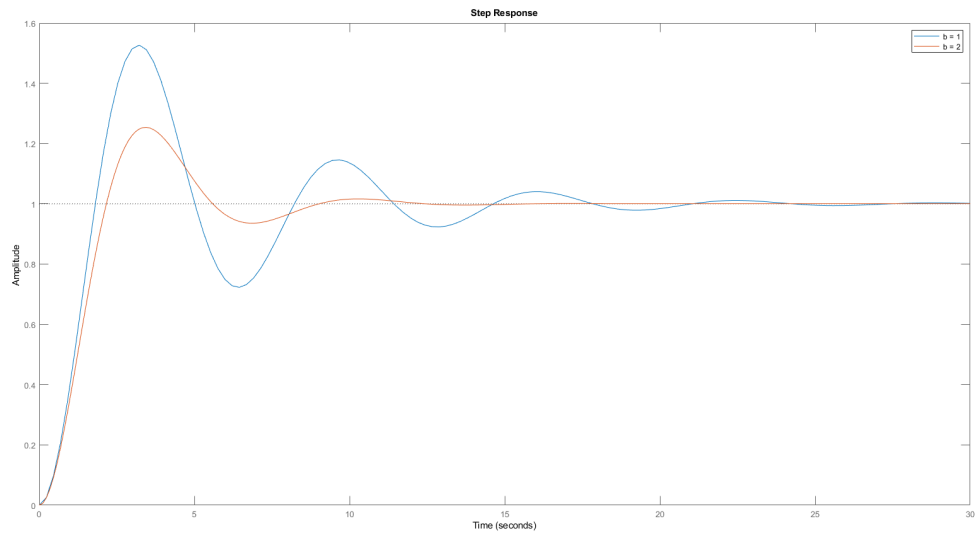


Figura 3: Gráfico para $b = 0.4$ e $b = 0.8$.

Com base nos resultados dos gráficos obtivemos a Tabela 2. Com isso, confirmamos o resultado das análises teóricas (Tabela 1).

	$\uparrow k$	$\uparrow b$	$\uparrow m$
Valor final	\downarrow	-	-
Tempo de Estabilidade	-	\downarrow	\uparrow
Valor de Pico	\uparrow	\downarrow	\uparrow
Tempo de Pico	\downarrow	\uparrow	\uparrow

Tabela 2: Análise do sistema baseado em simulação.

Item C

$$1 = \frac{1}{k} \rightarrow k = 1 \quad (10)$$

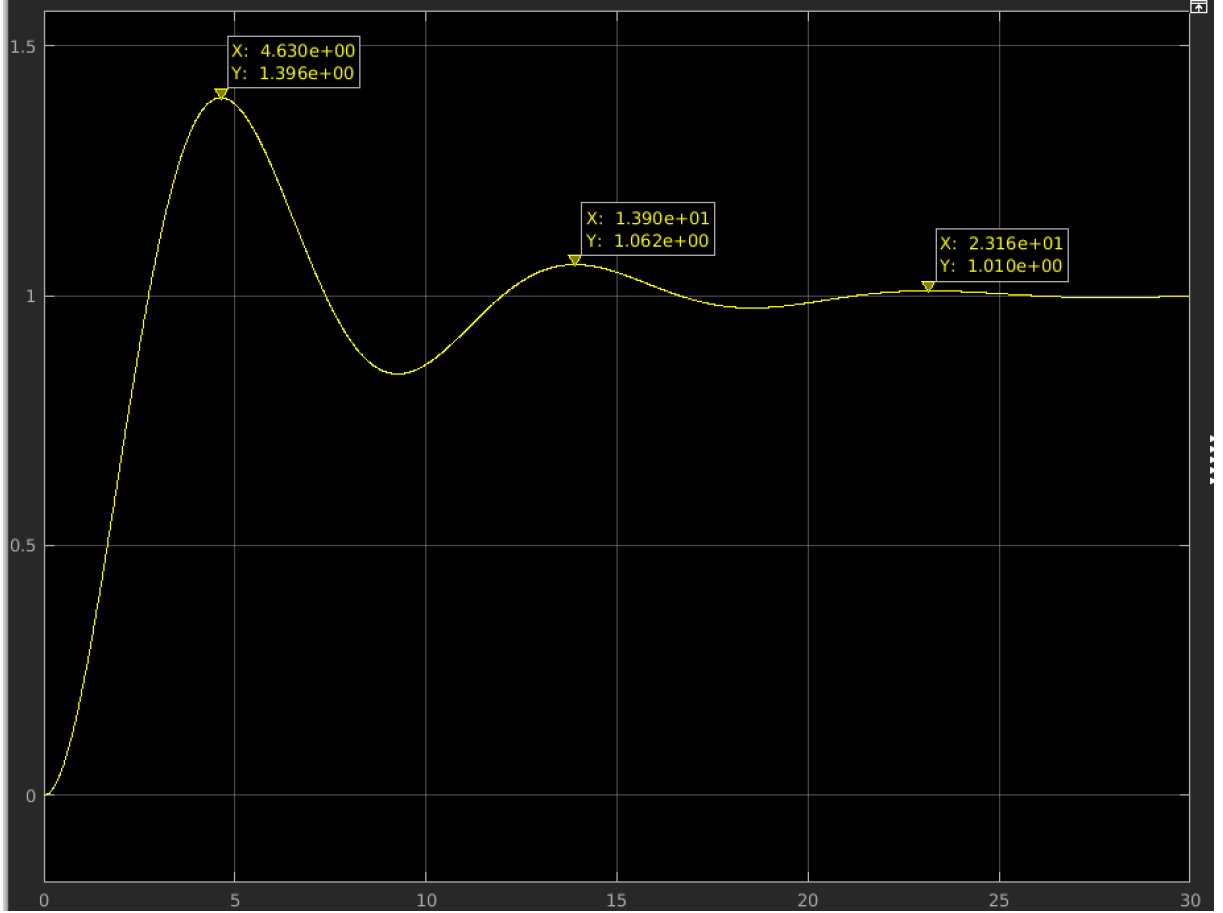


Figura 4: Gráfico da resposta ao degrau da planta.

Além do valor de estabilização, podemos retirar duas informações importantes do gráfico: valor de pico e tempo de pico. Substituindo nas fórmulas 5, 6 e 7, obtemos as frequências e ϵ :

$$0,396 = \exp\left(\frac{-\pi\epsilon}{\sqrt{1-\epsilon^2}}\right) \rightarrow \epsilon = 0,283 \text{ rad/s} \quad (11)$$

$$4,630 = \frac{\pi}{w_d} \rightarrow \omega_d = 0,679 \text{ rad/s} \quad (12)$$

$$\omega_d = \omega_n \sqrt{1-\epsilon^2} \rightarrow w_n = 0,708 \text{ rad/s} \quad (13)$$

Em mão dessas propriedades, podemos encontrar os valores das constantes b e m:

$$\omega_n^2 = \frac{k}{m} \rightarrow m = 1,995 \text{ kg} \quad (14)$$

$$\omega_d = \sqrt{\frac{(4km - b^2)}{4m^2}} \rightarrow b = 0,800 \frac{\text{kg} \cdot \text{m}}{\text{s}} \quad (15)$$

Item D

Dada a equação diferencial do sistema massa-mola, as equações de diferenças finitas e a forma padrão desejada:

$$m\ddot{y}(t_k) + b\dot{y}(t_k) + ky(t_k) = f(t_k) \quad (16)$$

$$\dot{y}(t_k) \approx \frac{y(t_{k+1}) - y(t_{k-1}))}{2h} \quad \ddot{y}(t_k) = \frac{y(t_{k+1}) - 2y(t_k) + y(t_{k-1}))}{h^2} \quad (17)$$

$$y[k+2] + ay[k+1] + by[k] = cf[k] \quad (18)$$

Substituindo (17) em (16) e ajustando $k = u + 1$, temos:

$$y(t_{u+2}) + \left(\frac{2h^2k - 4m}{2m + hb}\right)y(t_{u+1}) + \left(\frac{2m - hb}{2m + hb}\right)y(t_u) = \left(\frac{2h^2}{2m + hb}\right)f(t_{u+1}) \quad (19)$$

Como a força é constante, $f(t_u) = f(t_{u+1})$, rescrevendo a equação na forma padrão desejada, temos a relação entre os termos A, B, C, m, k, b e h:

$$y[k+2] + \left(\frac{2h^2k - 4m}{2m + hb}\right)y[k+1] + \left(\frac{2m - hb}{2m + hb}\right)y[k] = \left(\frac{2h^2}{2m + hb}\right)f[k] \quad (20)$$

$$\begin{aligned} A &= \left(\frac{2h^2k - 4m}{2m + hb}\right) \\ B &= \left(\frac{2m - hb}{2m + hb}\right) \\ C &= \left(\frac{2h^2}{2m + hb}\right) \end{aligned} \quad (21)$$

Item E

Usando a equação (20) resultante do item anterior e as relações (21) podemos reorganizar:

$$Cf[k] - Ay[k + 1] - By[k] = y[k + 2] \quad (22)$$

Depois de realizado um ensaio de 30 segundos no Simulink e tomadas 100 amostras de entradas e saídas ($h = 0,3$ segundos) (garantindo que metade delas estivessem com comportamento transitório e a outra metade no comportamento de regime permanente), obteve-se os valores para as constantes A, B e C:

$$\begin{aligned} A &= -1,8447 \\ B &= 0,8869 \\ C &= 0,0422 \end{aligned} \quad (23)$$

Igualando os sistemas de equações (21) e (23), obtemos os valores de m, k e b:

$$\begin{aligned} m &= 2,0121 \text{ kg} \\ k &= 1 \\ b &= 0,8040 \frac{\text{kg} \cdot \text{m}}{\text{s}} \end{aligned} \quad (24)$$

Comparando com os valores obtidos por inspeção, nota-se que k é idêntico, b é 0,05% maior e m é 0,09% maior. Como essas diferenças são muito pequenas pode se assumir que o procedimento por quadrados mínimos usando a equação de diferenças finitas nos fornece resultados confiáveis do sistema massa-mola e muito próximos dos obtidos por inspeção.

Problema 2

Item A

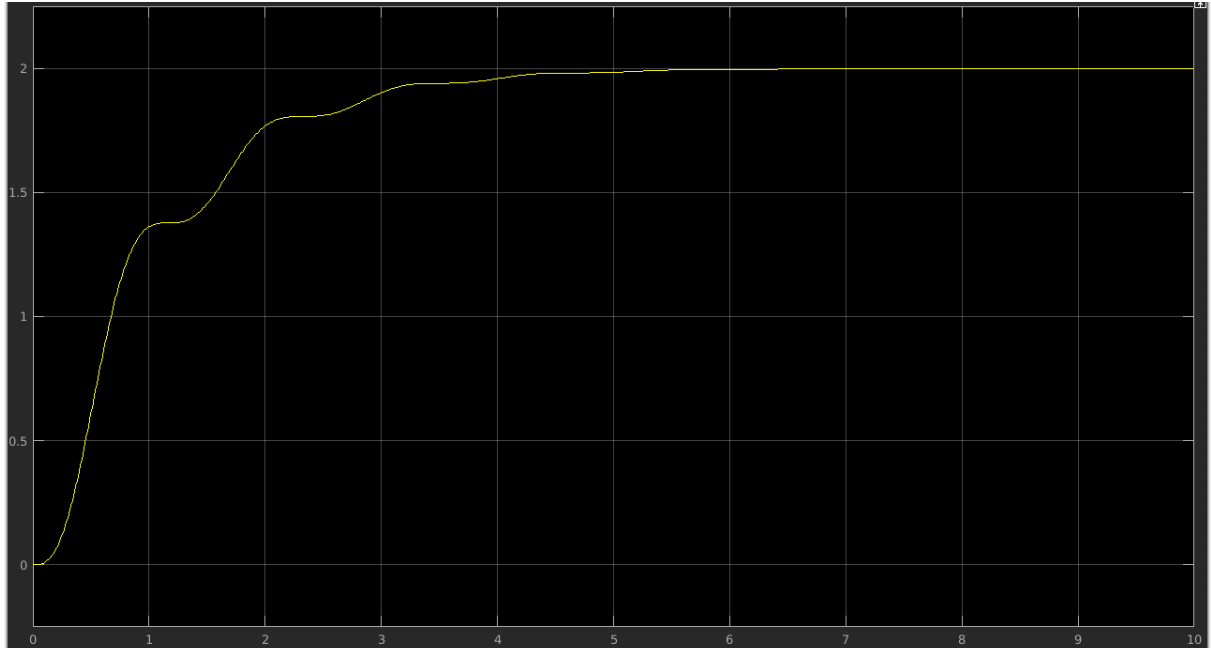


Figura 5: Gráfico da resposta ao degrau do sistema.

O valor de A é dado pelo valor para o qual y converge em regime permanente. Já o valor da constante de tempo τ pode ser obtida a partir do tempo de estabilização. Se o erro ($A - y(t)$) for de 2% o tempo de estabilização é dado por:

$$t_{\epsilon=2\%} = 4\tau \quad (25)$$

Observando o gráfico, extrai-se:

$$A = 2, t_{\epsilon=2\%} = 4,019 \text{ s} \rightarrow \tau = 1,005 \text{ s} \quad (26)$$

Então a aproximação pedida fica na forma:

$$G_{ap} = \frac{2}{1,005s + 1} \quad (27)$$

Item B

Partimos a partir da equação diferencial dada e da aproximação para a derivada:

$$\tau \dot{y}(t_k) + y(t_k) = Au(t_k) \quad (28)$$

$$\dot{y}(t_k) \approx \frac{y(t_k) - y(t_{k-1})}{h} \quad (29)$$

Pode-se então obter a equação de diferenças finitas:

$$\left(\frac{\tau}{h} + 1\right)y[k] - \frac{\tau}{h}y[k-1] = Au[k] \quad (30)$$

Reorganizando da seguinte forma, podemos utilizar o procedimento de mínimos quadrados:

$$\frac{Ah}{\tau + h}u[k] + \frac{\tau}{\tau + h}y[k-1] = y[k] \quad (31)$$

Da forma como solicitada no enunciado, foram utilizadas 100 amostras igualmente espaçadas ($h = 0,1s$). Obtém-se a partir desse procedimento os seguintes valores:

$$\begin{aligned} A &= 2,0275 \\ \tau &= 1,1484 \text{ s} \end{aligned} \quad (32)$$

Então a aproximação pedida fica na forma:

$$G_{ap} = \frac{2,0275}{1,1484s + 1} \quad (33)$$

Item C

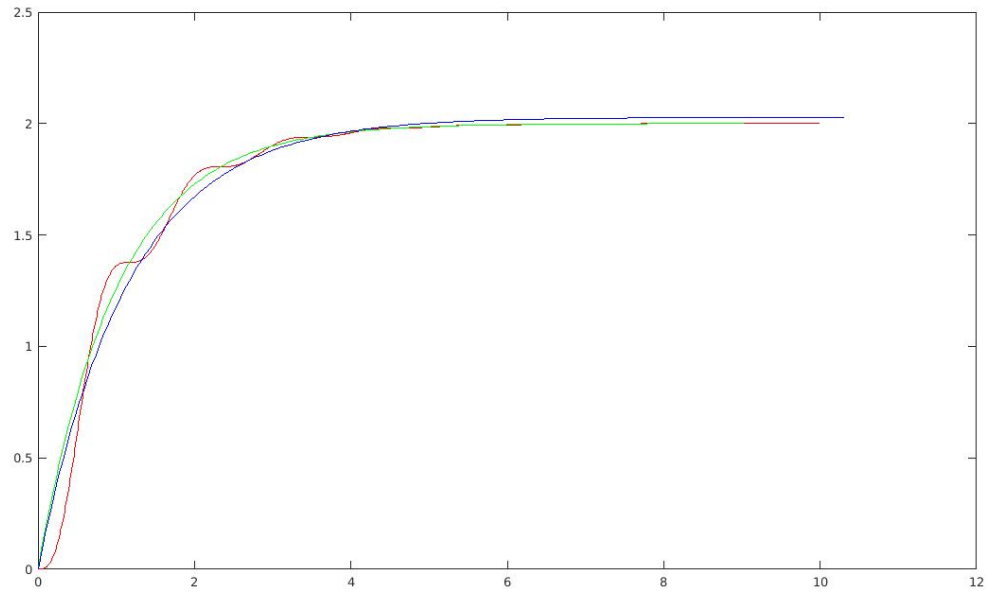


Figura 6: Gráfico com as respostas ao degrau do sistema (em vermelho) e das aproximações (do item A em verde e do item B em azul)

Pela figura 6 se mostra que as aproximações se comportam bem graficamente comparadas ao sistema. Todos os valores em regime permanente são muito próximos e durante o comportamento transitório também são graficamente similares, com erros muito pequenos. Isso nos dá uma segurança e confiabilidade em utilizá-las.

Caso o polo mais lento não for suficientemente dominante, os outros pólos passam a influenciar muito na resposta do sistema ao degrau e as aproximações deixam de ser confiáveis e seguras.